

UNIVERSIDAD DE CHILE

FACULTAD DE CIENCIAS NATURALES

Departamento de Química



ESTUDIO ESPECTROSCÓPICO DE COMPLEJOS

DE Fe(III) Y DE Ni(II)

Trabajo de Investigación para optar al título de
Licenciado en Química

Profesor Guía :

Dra. J. A. Costanaga R.

LUIS GERARDO GARRIGUE DADAL

(1974)

Í N D I C E

	PÁG.
CAPÍTULO I INTRODUCCIÓN	1
CAPÍTULO II ANTecedentes	2
2.1 Los iones hidroxínicos	2
2.2 Los iones hidroxínicos como colectores	3
2.3 Componentes de coordinación con iones hidroxínicos	3
2.4 Estudio espectroscópico de los complejos	7
2.5 Espectros I.R. de los iones hidroxínicos	20
CAPÍTULO III PARTE EXPERIMENTAL	23
CAPÍTULO IV RESULTADOS Y DISCUSIÓN	24
4.1 Espectros electrónicos	25
4.2 Espectros I.R.	32
CAPÍTULO V CONCLUSIONES	34
BIBLIOGRAFIA	35

ABREVIATURAS

Las abreviaturas usadas en el texto, excepto las indicadas en los lugares correspondientes, son las siguientes :

- AII = ácido acetacelidóico
- AIIV = ácido isovaleracídico
- BACB = alcohol butílico
- ETOB = alcohol etílico
- R = radical alquilico + carboxílico
- K = coeficiente de extinción solar
- KK = kilocalorías (1 KK = 10 000 cal⁻¹)
- A = 10 Pg

RESUME

Se discuten los espectros de transferencia de carga de los complejos de los sales estearohidroníaco e isoestearohidroníaco con Fe(III) en solución. Se determina cuantitativamente el grado de distorsión del octáedro en complejos con ligantes mezclados. Se discuten los espectros infrarrojos de los complejos de los sales mencionados con Fe(III), Ni(II) y Cu(II).

SUMMARY

The charge transfer spectra of the complex compounds of stearohydronate and isoestearohydronate salts with the Fe(III) ion in solution are discussed. The degree of distortion from octahedral symmetry was quantitatively evaluated for mixed ligand complexes. The I. R. spectra of the solid complexes of Fe(III), Ni(II) and Cu(II) and these acids are discussed.

CAPITULO I

INTRODUCCION

Aunque los sales hidronínicas fueron descubiertos por Lassan^{1/} ya en 1869, solo recientemente han adquirido importancia. Esta se debe fundamentalmente a su gran capacidad de formar complejos metálicos. Su uso ha sido intensamente estudiado desde el punto de vista analítico. Así, por ejemplo, Buse y Yee^{2/} informan de muchas sales hidronínicas que tienen características de reactivos analíticos para el reconocimiento colorimétrico de fosas metálicas. Por otra parte, Cossaro y Ruzzou^{3/} dan cuenta de métodos para la detección y determinación de sales carbonilicas en solución acuosa por la formación, catalizada por Si(II), de sales hidronínicas, y posterior reacción con Fe(III).

Actualmente se encuentra en estudio por científicos soviéticos el uso de sales hidronínicas en los procesos de concentración de minerales por flotación. Así es como algunos han dado excelentes resultados como colectores en la flotación de minerales oxidados^{4/}, 5/.

Parace evidente que la estructura de los complejos que forman los colectores con el metal tiene una marcada influencia sobre la capacidad colectora de los sales hidronínicas. Sin embargo este aspecto no ha sido muy bien estudiado en las publicaciones que se han presentado sobre esta materia.

De esta manera se ha creído conveniente iniciar el estudio de los complejos de los sales hidronínicas y algunos católicos, principalmente Fe(III), desde el punto de vista estructural y a través de métodos espectroscópicos.

CAPITULO II

ANTECEDENTES

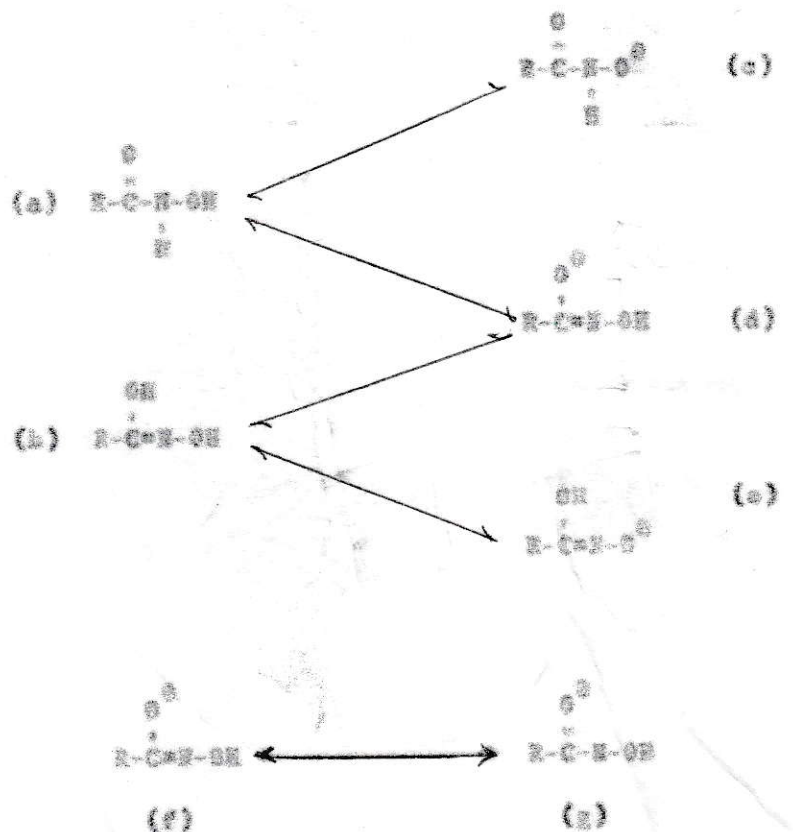
2.1. Los ácidos hidroxídicos

Lapkin^{6/} ha considerado dos formas tautonítricas para estos compuestos (ver figura en la página 3) : (a) y (b), pero finalmente se ha inclinado por la estructura (b). Sus argumentos, basados exclusivamente en reacciones químicas no se consideran válidos hoy. Posteriormente Innes^{7/}, por estudios de pectroscopía en el infrarrojo, ha demostrado que el corrimiento observado en la banda correspondiente al estiramiento C-O de los ácidos hidroxídicos, con respecto a la misma vibración en otros compuestos carbonílicos, puede ser una consecuencia de la formación de puentes de hidrógeno en el ácido, y no necesariamente debido al predominio de la estructura (b). Hudzi y Pruzanski^{8/}, por un estudio de los espectros infrarrojos en el estado cristalino y en solución, llegan a la conclusión de que la forma (a) es la más importante. Por último, Innes^{9/} ha probado la existencia de la forma (a) por medios de espectroscopía de a. v. r. Efectivamente, se ha observado que la señal del hidrógeno unido al nitrógeno aparece ensanchada, como se esperaría de la forma (a), pero no se detectan señales ni débiles asignables a la forma (b).

De las dos formas tautónicas (a) y (b), podrían derivarse tres formas para los enlaces : (c), (d) y (e).

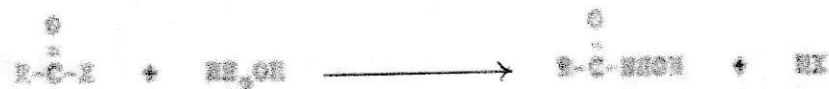
Innes y colaboradores^{9/}, han tratado de resolver la estructura del enlace de estos ácidos recurriendo a distintos métodos. Del estudio de los espectros infrarrojos han comprobado la existencia de los enlaces O-H y C=O. Del espectro en la zona del ultravioleta han concluido que la modificación en el espectro observada al su-

uentar el pH, se debe a la pérdida de un protón que estaba unido a un átomo de nitrógeno. Al considerar las constantes de ácidos de los distintos derivados concluyen asignando al anión la estructura isoméricas (f) y (g) :



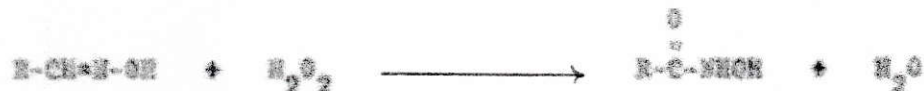
En lo que se refiere a la obtención de los ácidos hidroxínicos, se pueden señalar como los métodos más usuales los siguientes:

- Por reacción de hidroxilamina con derivados de ácidos carboxílicos :



- Oxidación de aldozinas, aninas, aldehídos monosícos, enidas y

nitrilos con agua oxigenada o con ácido persulfúrico.



iii Adición de hidroxilamina a cetona



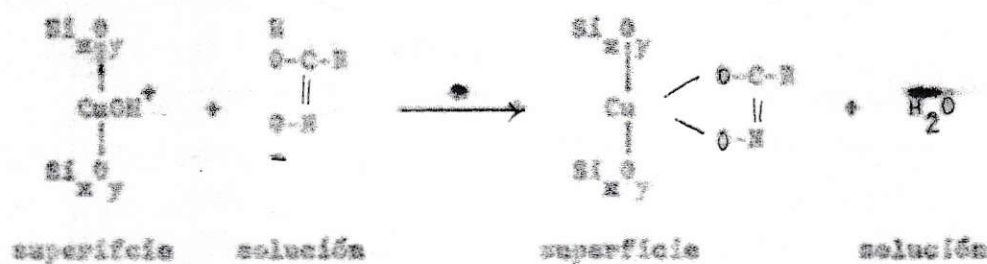
2.2. Los ácidos hidroxínicos como colectores

Uno de los problemas más urgentes que enfrenta la mineralurgia es la separación de los minerales oxidados por flotación. En este método de concentrado lo fundamental son las características superficiales de las partículas sólidas que se quieren flotar. Actualmente se conocen muchos reactivos capaces de revestir selectivamente partículas de sulfuros metálicos, de modo que se estimule su flotabilidad. Sin embargo estos reactivos, llamados colectores, no son adecuados para flotar minerales oxidados. (Óxidos u oxisoles).

De las distintas formas de interacción del colector con el mineral la más importante es la que se establece a través de la formación de un complejo superficial. Las características de los ácidos hidroxínicos inducen a pensar que pueden resultar buenos colectores. Efectivamente, Gorlovski y colaboradores^{5/}, lo mismo que Noslev y Podchaineva^{6/} concluyen que el colector IR-50, tiene grandes perspectivas en la flotación de minerales no sulfurados. Este colector, del cual posteriormente se han hecho muchos otros estudios, consiste en sales de sodio de ácidos alquilhidroxínicos, obtenidos por la reacción de ésteres metílicos de ácidos carboxílicos con 7 a 9 átomos de carbono con hidroxilaminas. Este colector es técnicamente muy interesante, principalmente debido a su facilidad

de síntesis y al bajo costo de las materias primas empleadas. Se parte directamente de petróleo, el cual se oxida a una mezcla de ácidos carboxílicos, luego se saponifica esta mezcla y se la hace reaccionar con hidroxilamina.

Como ejemplo de un mecanismo de flotación se puede mencionar el que Petersen y colaboradores^{14/} han propuesto para la flotación de criocellos con octilhidroxiamato de potasio. Estos consideran que los iones Cu²⁺ en la superficie del mineral se han hidrolizado parcialmente en un medio de pH mayor que seis :



2.3. Compuestos de coordinación con ácidos hidroxídicos

Como han informado Iasa y Yeo^{15/}, los ácidos hidroxídicos alifáticos dan reacciones de color o forman precipitados con V(V), Fe(III), Cu(II), S(VI), Ti(III) y Ru(III), mostrando al Cu(II) y al Mn(II) solo una débil reactividad.

Del resto de los ácidos hidroxídicos, el más usado es el N-fenilbenzohidroxídico, el que ha sido informado como reactivo gravimétrico para por lo menos 16 metales^{16/}.

Otros ácidos hidroxídicos que también se han usado en determinaciones gravimétricas son el benzohidroxídico y el oxalohidroxídico.

Además se han puesto a punto procedimientos calorimétricos para el análisis de cationes en los que se usan innumerables sci-

des hidroxílicos aromáticos, N-sustituidos y heterocíclicos^{2/}.

Otra de las aplicaciones analíticas de los ácidos hidroxílicos es la detección de ácidos grasos superiores. Kurono y colaboradores^{11/} establecieron un método para la determinación colorimétrica de ácidos hidroxílicos derivados de ácidos grasos superiores, usando la sal compleja con relación metal : ligante de 1 : 1, que se forma a pH = 7 con el Fe(III). Connors y Munson^{3/} comprendieron a través de un estudio de cinética en fase acuosa, que es posible hacer este análisis específico para ácidos alifáticos, catalizando la reacción con Ni(II), obteniéndose así resultados negativos para los ácidos aromáticos y los aminoácidos.

Los espectros en la zona del visible han sido estudiados por Christians y colaboradores^{12/}. Las especies estudiadas fueron los complejos formados por el ácido benzohidroxílico y el ión Fe(III). Informan que a pH bajo aparece un compuesto de color violeta con una banda en 520 nm y $\epsilon = 1.430 \cdot 10 \text{ cm}^{-1} \text{ mol}^{-1}$, que corresponde al complejo 1 : 1. A pH superior, y con exceso de ácido benzohidroxílico, el máximo se corre a 480 nm (teniendo este máximo un coeficiente de extinción molar de $2.880 \cdot 10 \text{ cm}^{-1} \text{ mol}^{-1}$), sobre pH = 3 precipita $\text{Fe}(\text{C}_8\text{H}_5\text{COOH})_3$. Kurono y colaboradores^{11/} determinaron que las sales de Fe(III) formaban con los ácidos hidroxílicos derivados de ácidos grasos superiores sales complejas en razón 1 : 1 (máx. = 525 nm), a pH = 2, 2:1 (máx. = 495 nm) y 3:1 (máx. = 485 nm) a pH = 5.

El único estudio cristalográfico que se ha hecho de los complejos de los ácidos hidroxílicos es el realizado por Mizukami y Nagata^{13/} sobre la estructura del complejo sólido de níquel, $\text{Ni}(\text{CH}_3\text{COO})_2$. Estos investigadores establecieron por estudios cristalográficos de rayos X que el complejo se forma a través de los átomos de oxígeno y de azufre, en forma de quelato, que el complejo es planar, que existen dos isómeros estructurales y que en

estos sólidos se producen fuertes enlaces por puentes de hidrógeno intermoleculares, entre átomos de nitrógeno y de oxígeno de dos moléculas adyacentes. También se estableció que la longitud del enlace C-S indica un considerable carácter de doble unión (ver figura 2.1.).

De lo discutido más arriba se puede notar que han sido muy bien estudiados los espectros de los complejos con sólidos hidroxídicos en la zona del visible, principalmente con motivos analíticos y siempre en solución. No se han discutido, sin embargo, los espectros en la región del ultravioleta, ni tampoco en el infrarrojo, para el caso de sólidos.

Debido fundamentalmente al empleo que se hace actualmente del Fe(III) como detector de sólidos hidroxídicos y a que su espectro en la región visible ha sido tan estudiado, es que se ha creído conveniente exponer la discusión de estos complejos con el ión Fe(III). También se estudiarán los complejos de Ni(II) y de Cu(II) con los sólidos hidroxídicos con objeto de determinar los valores de los Dq y las estructuras, respectivamente, de los complejos de Fe(III) y sólidos hidroxídicos. Por esta razón se darán en esta sección algunos antecedentes espectroscópicos de los iones Fe(III) y Ni(II).

2.4. Estudio espectroscópico de los complejos

2.4.1. Complejos de Fe(III)

La configuración electrónica del Fe(III) es d^5 . La mayoría de los estudios de espectroscopía publicados sobre complejos de esta configuración se refieren al ión isoeléctrico Mn(II).

La explicación de los espectros electrónicos de estos complejos requiere, al menos como punto de partida, del uso de la teoría del campo cristalino, que ha sido ampliamente desarrollada por Tanabe y Sugano^{15/}. En la aproximación de Campo Fuerte de esta teo-

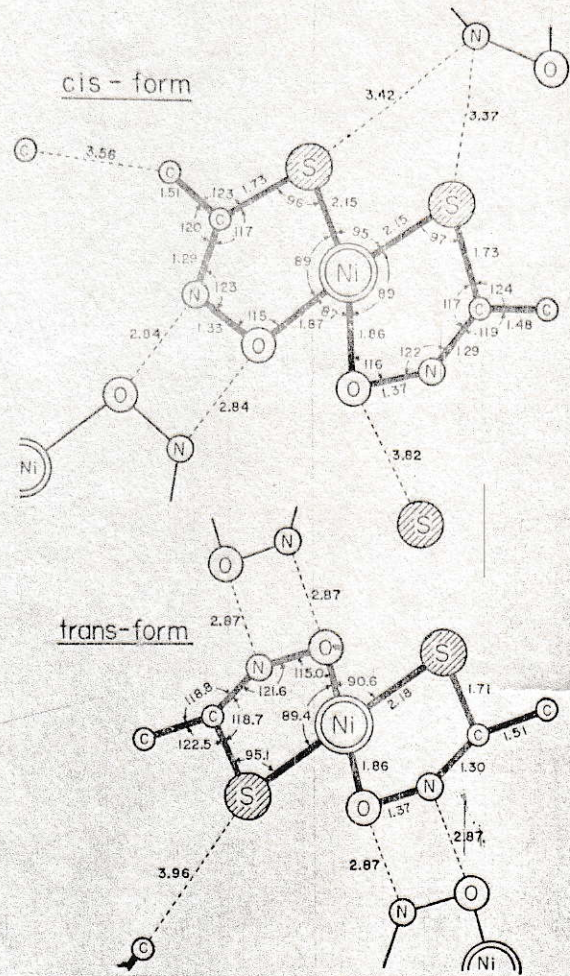


Fig. 2.1

Estructura de cis y trans aceto tiohidroxamato de Ni(II)

vía se considera primero el campo cristalino cúbico actuando sobre los electrones de valencia del ión central. Esta perturbación levanta la degeneración de los orbitales d y los desdable, en el caso de complejos octaédricos en un triplete inferior de orbitales, d_x (d_{xy}, d_{yz}, d_{zx}), de simetría t_{2g} , y un doblete superior de orbitales, d_y ($d_{x^2-y^2}, d_{z^2}$). Luego de acomodar los electrones en estos orbitales, se introducen las interacciones covalentes entre ellos, como una segunda perturbación del hamiltoniano de tipo hidrogenoide. Al resolver las ecuaciones correspondientes por el método de las perturbaciones, se encuentra que los niveles energéticos de los distintos términos quedan expresados en función de los parámetros A, B, C, y 10 Dq (A, B y C son combinaciones lineales de los integrales de Slater, introducidas por Koop).

El estado fundamental en los complejos de estos iones es ${}^6A_{1g}$. El resto de los términos espectroscópicos derivados de esta configuración está formado por cuadrupletos y dobletes.

Debido a la regla de selección de multiplicidad de spin, que prohíbe transiciones entre estados de distinta multiplicidad de spin, no deberían producirse transiciones entre algún estado base y algún estado excitado.

Sin embargo, vía acoplamiento spin orbital, se producen en los complejos octaédricos transiciones prohibidas por spin desde el nivel ${}^6A_{1g}$ a los términos cuadrupletos. Naturalmente la intensidad de estas bandas es muy baja ($\approx 10^{-2} \text{ It cm}^{-1} \text{ mol}^{-1}$). Para complejos tetraédricos la prohibición de spin no es tan rígida^{22/} (suma de orbitales d y p) y las intensidades son algo mayores ($\approx 1 \text{ a } 20 \text{ It cm}^{-1} \text{ mol}^{-1}$).

Un aspecto interesante de los energías de los distintos términos es que hay varios que no contienen el parámetro 10 Dq. Estos corresponden a los términos ${}^4A_{1g}$ y 4E_g , que provienen del 6C

y son degenerados, a 3E_g que proviene del 4S y a ${}^3A_{2g}$ que proviene de 4T .

La resolución de las matrices de Tanabe y Sugano da la energía de los términos en el complejo :

$${}^3A_{1g}({}^6S) = - 352$$

$${}^3A_{1g}({}^6O) = - 252 + 5C$$

$${}^3A_{2g}({}^6T) = - 132 + 7C$$

O, si se usa el término ${}^3A_{1g}$ como referencia haciendo su energía igual a cero :

$${}^3A_{1g}({}^6S) = 0$$

$${}^3A_{1g}({}^6O) = 102 + 5C$$

$${}^3A_{2g}({}^6T) = 172 + 7C$$

Los términos ${}^3E({}^6S)$ y $({}^6S)$, y ${}^3T({}^6O)$ interactúan, y la matriz que da cuenta de sus energías es :

$$\begin{array}{cc} {}^3E({}^6S) & \left[\begin{array}{ccc} - 225 + 5C - E & - 232 & \\ - 232 & - 215 + 5C - E & \\ \end{array} \right] * 0 \\ {}^3T({}^6O) & \left[\begin{array}{cc} - 232 & - 215 + 5C - E \\ \end{array} \right] \end{array}$$

O, si se usa la energía de ${}^3A_{1g}$ como referencia :

$$\begin{array}{cc} {}^3E({}^6S) & \left[\begin{array}{ccc} 102 + 5C - E & - 232 & \\ - 232 & 145 + 5C - E & \\ \end{array} \right] * 0 \\ {}^3T({}^6O) & \left[\begin{array}{cc} - 232 & 145 + 5C - E \\ \end{array} \right] \end{array}$$

La resolución de esta matriz nos da las energías relativas de los términos $^4I(^4S)$ y $^4I(^3G)$.

Las bandas correspondientes a transiciones independientes de Dq son fácilmente asignables debido a su forma aguda, relación cuadro y Dq. Así es posible determinar de una manera experimental las energías correspondientes a los términos independientes de Dq y por lo tanto calcular los valores de B y de C para el metal en el complejo.

El resto de las transiciones tienen energías que se pueden calcular como función de A, B, 10 Dq y por lo tanto son más difíciles asignables.

El método usado por Heidt y colaboradores^{16/} para calcular las energías de las transiciones consiste en :

- 1) Corregir las matrices de Tanabe y Sugano, de modo que el estado fundamental, $^6A_{1g}$, tenga energía igual a cero (o sea, se usa como estado de referencia), restando en los elementos de la diagonal principal la energía de $^6A_{1g}$ (- 25 B);
- 2) dividir todos los elementos de cada matriz por C de modo que la energía quede expresada en unidades de C y como función de B/C y de 10 Dq/C;
- 3) hacer variar B/C desde el valor correspondiente para el ión Li⁺ hba gaseoso. También se hace variar 10Dq/C en los términos que lo contienen, hasta encontrar un buen acuerdo con los valores experimentales.

Así, por ejemplo, para el $Mn(H_2O)_6^{2+}$ se hizo el cálculo de las energías de los términos $^4I(^4S)$, $^4I(^3G)$ por este método.

El mejor acuerdo se encontró para B/C = 0,18, lo que nos permitió asignar la banda en 29740 cm^{-1} a la transición desde el estado fundamental a $^4I(^3G)$ (calculado 29900 cm^{-1}) y las bandas en

24360 cm^{-1} y en 25275 cm^{-1} a la transición hasta ${}^5E_g({}^4G)$ (calculada 25200 cm^{-1}). No se explicó, sin embargo el desdoblamiento observado.

Los resultados obtenidos por estos autores son bastante buenas ya que existe acuerdo entre los valores calculados y los observados para la mayoría de las transiciones. Así también se calculan los parámetros B y C para el ión complejo y el valor de ΔQ .

Posteriormente Orgel^{26/} había calculado las energías de las distintas transiciones para el Mn(II) en un campo cúbico, usando las matrices de Tanabe y Sugano con los valores de B y de C correspondientes al ión gaseoso libre. En seguida él corrigió los valores de las energías calculadas corriendolas como un todo (aumentándolas en un valor dado). Este método es más rudimentario y adolece de dos defectos fundamentales :

- 1) No todas las transiciones dependen en la misma forma de B y de C, por lo tanto no es correcto este corrimiento;
- 2) no permite determinar B y C para el ión metálico complejado.

El valor de las interacciones interelectrónicas se verá afectado si ocurren deformaciones de los orbitales del ión libre. Una causa fundamental de deformación se encontrará en la unión covalente que se establece entre los orbitales del ión central y los de los ligantes. Este efecto ha sido considerado por Koide y Pryce^{17/} quienes hicieron notar que solo los orbitales d que apuntan frente a los ligantes serán afectados en forma apreciable, toda vez que solo es importante el anhíos signo. En el tratamiento simple de orbitales moleculares, el efecto de la covalencia se considera describiendo cada uno de los orbitales electrónicos como una combinación lineal apropiada de los orbitales d y de los de los ligantes:

$$\cos \theta |3d> + \sin \theta |s>,$$

en que $\langle\sigma\rangle$ corresponde a una combinación lineal apropiada de los orbitales sigma de los ligantes.

Ya que la mayor parte de la contribución de la repulsión interelectrónica coulombica proviene de las nubes de carga en las proximidades del núcleo del atomo central, puede ser una aproximación razonable en la evaluación de las integrales de Coulomb y de intercambio reemplazar la parte radial de los orbitales d por veces el original y despreciar la contribución del segundo término en la ecuación anterior. Podemos definir un "parámetro de covalencia", $c = 1 - \cos^2\theta$. De esta manera la matriz correspondiente a ${}^3E({}^4B, {}^4C)$ se modifica de la siguiente manera:

$$\begin{matrix} {}^3E({}^4B) & \left[\begin{array}{cc} 9B_0 + 3C_0 + 4B^+ + 2C^- & -2\sqrt{3}B \\ -2\sqrt{3}B & 6B^+ + 3C + 3B^- + 2C^- \end{array} \right] & = 0 \\ {}^3E({}^4C) & & \end{matrix}$$

en que $B^+ = B_0 \cos^2\theta$, $B^- = B_0 \cos^2\theta$, $C^+ = C_0 \cos^2\theta$ y $C^- = C_0 \cos^4\theta$ o también :

$$\begin{matrix} {}^3E({}^4B) & \left[\begin{array}{cc} 13B + 5C - c(4B + 2C) & 2\sqrt{3}B - c2\sqrt{3}B \\ 2\sqrt{3}B - c2\sqrt{3}B & 13B + 5C - c(22B + 7C) \end{array} \right] & = 0 \\ {}^3E({}^4C) & & \end{matrix}$$

De esta manera ha sido posible expresar la energía de las transiciones desde ${}^3A_{1g}$ a ${}^3E({}^4B)$ y ${}^3E({}^4C)$ como función del parámetro de covalencia c , usando los valores de B y C para el íon libre.

Se observó que para $c = 0,09 \pm 0,10$ se obtenía un buen acuerdo entre las transiciones observadas y las calculadas siendo la separación energética entre ${}^3E({}^4C)$ y ${}^3A_{1g}({}^4C)$ de aproximadamente 100 cm^{-1} .

Este método ha sido aplicado por Poppelardo al cálculo de otras transiciones^{10/} en NaCl_2 y NaBr_2 . Cada parámetro del íon libre se transforma según su cálculo en tres, de acuerdo a que las funciones de onda correspondientes a un término determinado involucren funciones de onda d_x , d_y ó d_z nula de ambas.

A Así por ejemplo, en el cálculo de la matriz de 1×1 para $\delta_{A_{1g}}$, se considera la función determinantal $\psi = (xy, yz, zx, z^2, x^2-y^2)$, que es la única que se puede asociar a dicho término de simetría.

La repulsión interelectrónica dentro de una configuración está dada por :

$$E(\gamma) = \langle \gamma | 1/r_{ij} | \gamma \rangle$$

la cual se suma sobre todos los pares electrónicos dentro de γ .

Desta suma se expresa como una suma de integrales de Coulomb $J(a, b)$ menos una suma de integrales de intercambio, $K(a, b)$:

(a, b)	$J(a, b)$	$K(a, b)$
(z^2, x^2-y^2)	$A_1 - 2B_1 + C_1$	$3B_1 + C_1$
(xy, zx)	$A_0 - 2B_0 + C_0$	$3B_0 + C_0$
(zx, yz)	$A_0 - 2B_0 + C_0$	$3B_0 + C_0$
(xy, yz)	$A_0 - 2B_0 + C_0$	$3B_0 + C_0$
(x^2-y^2, zx)	$A_2 - 2B_2 + C_2$	$3B_2 + C_2$
(x^2-y^2, xy)	$A_2 + 2B_2 + C_2$	$3B_2 + C_2$
(z^2, zx)	$A_2 + 2B_2 + C_2$	$3B_2 + C_2$

Como es posible comprobar, el subíndice '3' en los parámetros de Racah indican que los electrones que interactúan están en orbitales d_y , el subíndice '0', en orbitales d_z , y el subíndice '2' indica que uno de ellos se encuentra en un orbital d_x y el otro en uno d_y .

Sumando las expresiones de $J(a,b)$ y restando a esta suma la de los $E(a,b)$, obtenemos para la energía del término $^6A_{1g}$ la siguiente expresión :

$$E(^6A_{1g}) = E(\gamma) = 3A_0 + 6A_2 - A_4 - 13B_0 - 12B_2 - 8B_4$$

Para el caso del primer elemento de la matriz correspondiente a la energía de los términos $^3E(^3D)$ y $^5E(^5G)$, antes considerada, Pappalardo calcula la siguiente expresión :

$$3A_0 + 6A_2 + A_4 - 6B_0 - 9B_2 - 9B_4 + 3C_0 + 2C_2$$

Si consideramos al estado báscio $^6A_{1g}$ con energía igual a cero, debemos restar la expresión de la matriz que le corresponde a ésta. De esta manera el elemento de matriz queda :

$$(9B_0 + 3C_0) + (4B_2 + 2C_2)$$

Reordenando la expresión de este elemento de matriz usada por Kondo y Price queda :

$$(3B + 3C) + (1 - \epsilon) (4B + 2C)$$

El parámetro interelectrónico de Racah β (y en menor extensión ϵ) es función del ligante, del ión central y de la estocimetría.

Cuando se forma el complejo siempre β disminuye. Esto se debe principalmente a la covalencia parcial de la unión metal-ligante. Así se define el parámetro neoclásico como :

$$\delta = \frac{\delta \text{ en el ión complejo}}{\delta \text{ en el ión libre}} = \frac{\delta}{\delta_0}$$

En un complejo octaédrico con ligantes que no tienen órbitas π , el efecto de éstos sobre los orbitales d_y y d_z será distinto. Es decir, en este caso se producirá una expansión mayor en los orbitales d_y que en los d_z . Esto nos indica que debemos usar diferentes parámetros nefelauxéticos para las integrales que impliquen orbitales d_y (S_{33}), d_z (S_{55}) o mezcla de ambos (S_{35}).

Belt^{20/} ha aplicado este principio para explicar el espectro del complejo tetraédrico de Fe(III), (FeCl_3), que muestra bandas de difícil asignación.

La expresión que obtiene para el elemento de matriz antes discutido es $(3B + 3C) + (4B + 2C)$.

Fijando la asignación de una de las bandas del espectro, por ejemplo $^4E_g(^5D) \rightarrow ^5A_{1g}$ a 18.8 K, como referencia, puede calcularse el resto de las energías en función de S_{33} y de $10 Dq$. Así, variando la asignación de las transiciones de referencia obtiene este autor siete conjuntos de transiciones con distintas asignaciones y puede discutir cuáles son más correctas.

En resumen, podemos decir que la mayoría de los aspectos de estructura fina de los espectros de complejos de iones d^5 pueden ser explicados considerando el efecto de la covalencia. Sin embargo también han sido considerados otros factores, como sea por ejemplo las interacciones spin órbita, las que han sido calculadas por Koide y Pryce, y son del orden de 10 cm^{-1} (muy difícil de resolver experimentalmente); distorsiones de la simetría del campo cristalino, que han sido rechazadas^{15/} por no mostrar otras bandas desplazamientos del mismo orden de magnitud que 4E_g y $^5A_{1g}$ (5G), etc.

Otro aspecto muy importante que debemos considerar en espec-

tres de complejos de iones d^6 con las bandas de transferencia de carga. Efectivamente, estas son tan intensas, sobre todo en complejos de Fe(III), que sus bandas de baja energía obscurecen generalmente bandas de transiciones d-d haciendo muy difícil la determinación de valores de 10 Dq.

Para un estudio de las bandas de transferencia de carga es necesario establecer un diagrama de orbitales moleculares que describa el sistema.

Para este efecto debemos recordar que para que se formen orbitales moleculares, los orbitales atómicos deben tener energías similares, recubrirse en el espacio y deben tener la misma representación simétrica en el grupo considerado.

En simetría octaédrica, los orbitales de los ligantes apropiados para formar enlaces con el metal pueden combinarse para formar orbitales moleculares de designación de simetría ($A_{1g} + E_g + T_{1u}$). Estos se combinarán con los orbitales del metal : (n s) (simetría E_g), ($n+1$)s (simetría A_{1g}) y ($n+1$)p (simetría T_{1u}).

Los orbitales ligantes apropiados para formar enlaces pi (suponiendo que cada ligante tiene dos orbitales p perpendiculars al eje de enlace sigma), se combinan para formar orbitales moleculares que transforman como $T_{1g} + T_{2g} + T_{1u} + T_{2u}$. Por lo tanto los electrones d_{xy} , d_{yz} y d_{zx} (T_{2g}) y también los electrones p (T_{1u} tienen simetría pi). T_{1g} y T_{2u} no tienen contrapartida en el metal, salvo que se consideren orbitales f. Si los orbitales t_{2g} del ligante están llenos, los electrones t_{2g} del metal serán parcialmente de antienlace.

Si el ligante se une al metal por el oxígeno de un grupo carbonílico, los orbitales de que dispone son: un híbrido sp₂, adecuado para formar enlaces sigma, y uno p_y adecuado para enlaces pi.

La formación de enlaces pi se ve favorecida cuando se establece por retrodonación de electrones pi del metal al ligante ya que así se reduce la separación de cargas que resulta de la formación de una unión sigma donante^{25/}. En el caso de los complejos antes mencionados (por ejemplo, acetilacetonatos) los orbitales pi del ligante están llenos y el enlace pi tendría que ser dative en el mismo sentido que el enlace sigma. Debido principalmente a que los enlaces pi en estos casos aumentarían, en lugar de disminuir, la carga negativa sobre el metal, es que se consideran poco probables. Sin embargo, se puede esperar espacialmente en el caso de simetría octaédrica distorsionada tetragonalmente, algún grado de mezcla de orbitales p_y del oxígeno y d_{xy} del metal.

Los diagramas de orbitales moleculares para el caso de simetría octaédrica y octaédrica distorsionada tetragonalmente pueden verse en las figuras 2.2 y 2.3 respectivamente. Se ha designado por ϵ_1 y ϵ_2 las separaciones energéticas entre b_{1g} y a_{1g} , y entre b_{2g} y a_g , respectivamente.

De acuerdo a estos diagramas pueden esperarse, entre otras, las siguientes transiciones electrónicas:



para los casos octaédricos y octaédricos distorsionados tetragonalmente.

Lindqvist y Kornitsky han determinado el efecto de sustitución en el ligante de complejos de Fe(III) con acetilacetona. Estos autores han determinado tres bandas de transferencia de carga en cuatro quelatos sustituidos de Fe(III), i. e.: 22 400 cm^{-1} a 24 600 cm^{-1} correspondiente a $t^B \rightarrow t^A$

$28\ 300\text{ cm}^{-1}$ a $36\ 600\text{ cm}^{-1}$ correspondiente a $t_{2g} + z^6$

$20\ 000\text{ cm}^{-1}$ a $23\ 000\text{ cm}^{-1}$ correspondiente a $t_{2g} + e_g$

Jørgensen ha considerado^{23/} $10 Dq$ como el producto de dos factores: uno que es función de los ligantes solamente y el otro sólo del ión central. El fundamento de esta consideración se encuentra en la propiedad de las funciones de dos variables de ser separables en el producto de dos funciones de una variable cada una.

Así: $10 Dq = f(\text{ligante}) \times g(\text{ión central})$

Aprovechando los valores determinados previamente de f y de g , correspondientes a los ligantes y al ión Fe(III), estos autores determinan $10 Dq$. Luego consideran que:

$$(z + t_{2g}) + (t_{2g} + e_g) + (e_g + z^6) = (z + z^6)$$

$$(t_{2g} + e_g) = 10 Dq$$

$$\text{y se deduce que: } (z + e_g) - 10 Dq = (z + t_{2g})$$

$$(t_{2g} + z^6) - 10 Dq = (e_g + z^6)$$

$$\text{entonces: } (z + z^6) = [(z + e_g) - 10 Dq] + (10 Dq) + [(t_{2g} + z^6) - 10 Dq]$$

y así pueden calcular $(z + z^6)$ y compararlo con el valor asignado. Los valores coinciden casi perfectamente.

Este método puede usarse también para calcular $10 Dq$, conociendo las tres bandas de transferencia de carga.

Estos autores observaron que, en términos de campo cristalino la substitución de los átomos de hidrógeno por flúor en el anillo quelato desestabiliza todos los niveles con respecto al ligante sin substituir, en cambio los substituyentes fuertes estabilizan los niveles energéticos.

2.4.2. Complejos de Ni(II)

Como algunos parámetros espectroscópicos que se utilizan en el cálculo de las transiciones en los complejos de Fe(III) se determinan en complejos de Ni(II), discutiremos brevemente las características espectroscópicas de los complejos de Ni(II).

Los complejos octaédricos de esteión exhiben un espectro simple que comprende tres transiciones permitidas por spin:



Además, frecuentemente se observan dos bandas prohibidas por spin, las que corresponden a las transiciones:



Cuando $(D_q/3)$ tiene un valor cercano a la unidad, la transición a ${}^3T_{1g}(r)$ aparece como un doblete bien definido. Esto se debe a que la transición a 1T_g gana intensidad a través de una interacción configuracional con el nivel ${}^3T_{1g}(r)$.

Se conoce un gran número de complejos de Ni(II) hexacoordinados de fórmula NiX_6Y_2 , que pueden ser monodrómicos o poliméricos. En estos casos, la forma del espectro no cambia notablemente. Sin embargo, en ciertos casos la banda v_3 muestra una estructura que se ha atribuido a la disminución de simetría, pero que también puede representar una transición muy cercana triplete-singlete al ni-

val $^1T_{2g}(T)$ y $^3T_{1g}(P)$. (se desdoblarian en $^3A_{2g} + ^3E_g$ cada uno, en simetría D_{4h}). Se puede, sin embargo probar que en el límite del campo fuerte, ambos niveles se desdoblaran en sentidos inversos, así cuando ocurren interacciones configuracionales el desdoblamiento tiende a anularse. Estos niveles se verán reducidos en cerca de 50% en cm^{-1} o menos y no se verán resueltos en espectros de soluciones. Por lo tanto, en estas condiciones la única modificación visible será que el valor de 10 D_0 calculado no corresponderá generalmente con el valor de v_1 observado.

Por otra parte, v_1 se desdoblaba generalmente en dos componentes. Estas se asignan, en simetría D_{4h} , a transiciones a los niveles $^3B_{2g}$ y 3E_g (componentes de $^3T_{2g}$ en simetría octaédrica) y tienen energía de 10 pc^2 y de $(10 \text{ pc}^2 - 25 \text{ pt}/\text{n})$ respectivamente.

El campo cristalino producido por ligantes en posición ecuatorial es similar al encontrado o predicho en complejos M_6 , pero disminuye notablemente cuando se coordina en el plano ligantes voluminosos.

Los espectros electrónicos de los complejos tetraédricos y planares de Ni(II) son notablemente distintos de los que presentan los octaédricos y no se discutirán aquí.

2.5. Espectros infrarrojos de los ácidos hidroxídicos

Este campo ha sido estudiado principalmente por Hadzi y Prevezek³⁷, quienes investigaron los espectros de ácidos hidroxídicos y de ácidos hidroxídicos desterpados, comparándolos con los correspondientes a compuestos similares, cuyas bandas habían sido ya asignadas con extera seguridad. También Exner⁷⁷ ha estudiado los espectros de estos compuestos, principalmente con la intención de dilucidar sus estructuras y la de sus aniones.

Se expondrá a continuación en forma resumida las principales

características de los espectros infrarrojos de los ácidos hidroxídicos.

Como lo señalaura Radni y Prevorsek^{8/}, las bandas que caracterizan a los ácidos hidroxídicos son:

- a) tres bandas fuertes (una de las cuales puede ser obscurecida por las bandas de estiramiento C-H, en el caso de compuestos de cadena larga) en la zona de 2900 a 3300 cm^{-1} ;
- b) una banda (generalmente un doblete) en 1640 cm^{-1} ;
- c) una banda de intensidad media en 1550 cm^{-1} ;
- d) una banda de intensidad variable entre 1360 cm^{-1} y 1440 cm^{-1} ;
- e) una banda fuerte en 900 cm^{-1} .

De las tres bandas que aparecen en la región del estiramiento X-H (X = H, O, S, etc.), la de mayor frecuencia es la más intensa y puede ser asignada al estiramiento H-H. Las otras dos vibraciones son considerablemente más anchas y deben atribuirse a grupos O-H unidos. Una de ellas está obscurecida por las bandas C-H de los ácidos hidroxídicos alifáticos de cadena larga, pero puede ser claramente observada en los ácidos deuteration. Esta banda O-H está a menores frecuencias en estado sólido que en solución. Esto indica que en estado sólido debe existir otro tipo de enlace por puente de hidrógeno. El hecho que también la banda de estiramiento H-H baje su frecuencia en estado sólido está de acuerdo con ello y permite suponer que este grupo también sufre algún tipo de enlace por puente de hidrógeno.

El desdoblamiento que presenta la banda de estiramiento O-H al pasar al estado sólido se ha explicado suponiendo que existe un acoplamiento vibracional entre las moléculas en una celda unitaria, probablemente a través de fuertes puentes de hidrógeno.

La banda fuerte y ancha cercana a 1650 cm^{-1} se ha asignado a

una vibración tipo amida I, la cual es principalmente un estiramiento C=O. En estado sólido aparece generalmente desdoblada. Esto se puede atribuir a las mismas causas que desdoblaron las bandas de estiramiento C-H.

La banda en 1540 cm^{-1} se ha asignado a una vibración tipo amida II, ya que desaparece por deuterción. Este tipo de vibración es principalmente un 'bending' C-H-H mezclado con estiramiento C-H.

Se ha asignado la banda en los entornos de 1400 cm^{-1} a una vibración análoga a la amida III, que es fundamentalmente un estiramiento C-H mezclado con un 'bending' C-H-H, pero, a diferencia de ésta, no se move al deutercar.

La banda en 965 cm^{-1} que se corra al deutercar a 985 cm^{-1} , se asigna al estiramiento N-C.

C A P I T U L O III

PARTE EXPERIMENTAL

Los complejos del ácido estearchidroxánico se estudiaron en solución butanólica. Se eligió este solvente debido a que es uno de los pocos en que dicho ácido es soluble. Se reguló el pH agregando soluciones butanólicas de hidróxido de sodio o de ácido perclórico. Los complejos de los ácidos isovalerohidroxánico y pivalohidroxánico se estudiaron en etanol aprovechando su solubilidad en dicho solvente.

Los espectros en la zona del visible y algunos en la del ultravioleta se registraron en un espectrofotómetro Carl Zeiss PUS. El resto de los espectros en la zona del u.v. se registraron en un aparato Cary 17. En ambos casos se usaron celdas de cuarzo de 1 cm de paso.

Dado al alto coeficiente de extinción molar de las soluciones de complejos de Fe(III), se usaron concentraciones muy bajas, del orden de 10^{-5} M. En el caso de los complejos de Ni(II), que se usaron como referencia estructural, se prepararon soluciones más concentradas, del orden de 5×10^{-3} M.

Se trataron de sintetizar complejos sólidos con los ácidos estearchidroxánico y pivalohidroxánico y $Ta(ClO_4)_3 \times 10 H_2O$. Sin embargo, a pesar de haber experimentado con varios solventes, grados de ácidos y distintas formas de concentrar las soluciones (calentando a distintas temperaturas, a presión atmosférica y a presión reducida) siempre se llegó a sólidos de consistencia cerosa o aceitosa que fueron imposible de purificar. Los espectros infrarrojos que se informan y discuten más adelante corresponden a estos sólidos preparados en proporciones estoquímicas adecuadas.

Los espectros electrónicos se registraron en un aparato Perkin Elmer 612. Se usaron ventanas de KCl.

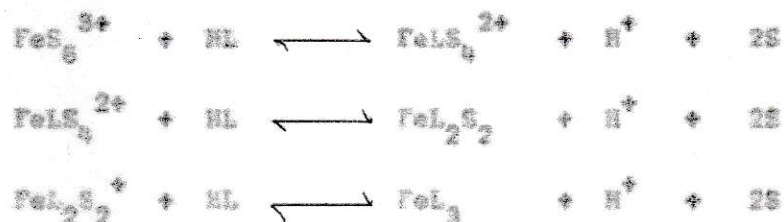
Todos los reactivos usados fueron de calidad analítica. El $\text{Fe}(\text{ClO}_4)_3 \times 10 \text{ H}_2\text{O}$ y el $\text{Ni}(\text{ClO}_4)_2 \times 6 \text{ H}_2\text{O}$ se prepararon y cristalizaron en el laboratorio. Los gelos hidroxídicos fueron sintetizados por el grupo de investigación que dirige el Dr. S. Bleinach del Departamento de Química de la Universidad Técnica del Estado.

C A P I T U L O IVR E S U L T A D O S Y D I S C U S I O N E S4.-1. Espectros Electrónicos:

En la Tabla 4.1 aparecen las frecuencias en kiloKaisers (1 kiloKaiser = 1 KK = 1000 cm^{-1}) correspondientes a los espectros electrónicos de las soluciones preparadas con distintas relaciones metal:ligante y distinto pH. Entre paréntesis aparecen los coeficientes de extinción molar de los máximos en unidades de $\text{lt cm}^{-1} \text{ mol}^{-1}$. En la figura 4.4 aparece la forma de algunos espectros.

Todos los espectros muestran tres bandas, sin embargo en algunos de ellos la banda a mayor frecuencia es tan intensa que se extiende por menor energía impidiendo ver la banda intermedia, mientras que en otros casos aparece ésta como un 'shoulder'.

Se puede observar de la Tabla 4.1 que las bandas en el visible se corren a mayores frecuencias a medida que aumenta el pH. También es posible observar que su posición permanece en general invariante a un cierto pH, aunque cambie la relación metal:ligante. Estas observaciones pueden racionalizarse considerando los siguientes equilibrios:



en que HL simboliza el ácido hidroxiônico correspondiente y S el solvente que se puede coordinar.

In esta forma aparece natural que los equilibrios se desplazan hacia la derecha a medida que aumenta el pH si se considera que la especie FeL_3^+ tiene su banda de menor energía a mayor frecuencia que $\text{FeL}_2\text{S}_2^{+}$ y ésta a mayor frecuencia que $\text{FeL}\text{S}_2^{2+}$.

Como se observa en la Tabla 4.1, todas las bandas en la zona del visible o del ultravioleta se caracterizan por mostrar un alto coeficiente de extinción molar y no es posible observar ninguna de las bandas correspondientes a las transiciones electrónicas d-d del metal. Este hecho experimental hace imposible el cálculo de 10 Dq y otros parámetros de campo cristalino a partir de los valores de las frecuencias de las transiciones electrónicas d-d.

Haciendo las consideraciones empíricas de Jorgenson, y como se dispone de valores de g para casi todos los iones metálicos, solo es necesario determinar f para los ligantes en estudio y de esta manera calcular indirectamente los valores de 10 Dq para cada complejo de Fe(III).

Los complejos de Si(II) y los óxidos hidroxídicos resultan muy convenientes para determinar los valores de f para estos ligantes. Esto se debe a que, por una parte, estos complejos no muestran bandas de transferencia de carga que impiden observar las transiciones d-d, y por otra parte, los coeficientes de extinción molar de estas transiciones son más altos que en el Fe(III), ya que no existe, como en este último, prohibición de spin.

En la Tabla 4.2 se muestran los resultados de los espectros electrónicos de los complejos de Si(II) con los óxidos hidroxídicos, así como las asignaciones de las distintas bandas y los valores de 10 Dq correspondientes.

Se ha supuesto que, siendo baja la concentración del complejo $\text{Si}(\text{ClO}_4)_2 \times 6 \text{ H}_2\text{O}$ en butanol o en etanol, debe esperarse que

se produce el reemplazo de la mayoría de las moléculas de agua por las del solvente. Así, hemos considerado que la solución de $\text{Ni}(\text{ClO}_4)_2 \times 6 \text{H}_2\text{O}$ en butanol nos dará $\text{Ni}(\text{ButOH})_6^{2+}$ y en etanol va a darse ion $\text{Ni}(\text{EtOH})_6^{2+}$.

Asimismo, podemos considerar que el complejo preparado con razón metal a ligante de 1 a 2 y en medio de pH 5 a 6 corresponde a $\text{Ni}(\text{AIIH})_2$, $(\text{ButOH})_2^{2+}$ o a $\text{Ni}(\text{AlIVH})_2$, $(\text{EtOH})_2^{2+}$ según sea el caso^{12/}.

Tanto la ubicación de las bandas como sus coeficientes de extinción molar (o sus factores de frecuencia) nos indican que los complejos son octaédricos. La asignación de las bandas se ha hecho comparándolas con otras ya informadas^{22/}.

La energía correspondiente a las distintas transiciones se calcula de acuerdo a las ecuaciones derivadas por Tanabe y Sugano^{13/}.

Calcularemos la energía de las distintas transiciones en base a los términos $^3T_{1g}(F)$ y $^3T_{1g}(T)$ que interactúan. La matriz de energía correspondiente es^{24/}:

$$\begin{matrix} ^3T_{1g}(T) & \left[\begin{array}{cc} 6 Dq + E & 6 Dq \\ 6 Dq & 15 E - 6 Dq \end{array} \right] \\ \hline ^3T_{1g}(F) & \end{matrix} = 0$$

lo que da:

$$E = (6 Dq + 7,5 E) + 1/2 \left[(15 E - 6 Dq)^2 + 64 Dq^2 \right]^{1/2}$$

$$\text{Llamaremos } \alpha = 1/2 \left[(15 E - 6 Dq)^2 + 64 Dq^2 \right]^{1/2}$$

Entonces la energía de los distintos términos con respecto al fundamental, $^3A_{1g}(T)$ es:

$$v_1 = \pi \left[{}^3T_{2g}(r) - {}^3A_{2g}(r) \right] = 10 \text{ Dq}$$

$$v_2 = \pi \left[{}^3T_{1g}(r) - {}^3A_{1g}(r) \right] = 15 \text{ Dq} + 7,5 \text{ Dq} = 0$$

$$v_3 = \pi \left[{}^3T_{1g}(r) - {}^3A_{2g}(r) \right] = 15 \text{ Dq} + 7,5 \text{ Dq} = 0$$

Por lo tanto :

$$v_1 + v_2 + v_3 = a = 30 \text{ Dq} + 15 \text{ Dq}$$

$$v_1 + v_2 = b = 20 \text{ Dq}$$

Se aprecia que :

$$\delta_1 = \frac{\pi}{2720} \left[5240 \text{ g}^2 + 256 \text{ g}^2 \right]^{1/2}$$

Utilizando esta última fórmula se ha calculado 10 Dq para cada caso.

Con estos datos y con el valor de g calculado para el Ni(II) de 8,2 podemos calcular el valor de f para el butanol, etanol, alcohol estearohidroxílico.

Así :

$$10 \text{ Dq } \text{Si(butOH)}_5^{2+} = 8270 = 8,2 \times f(\text{butOH}) \times 10^3$$

$$f(\text{butOH}) = 1,000$$

La "regla del ambiente promedio" establece que, para un conjunto de ligantes mezclados, la magnitud del campo óptico es el promedio ponderado de los campos ligantes asociados a cada uno de los ligantes separadamente^{24/}.

Aplicando esta regla:

$$\begin{aligned} 10 Dq \text{ Ni(AEN)}_2(\text{ButOH})_2^{\frac{1}{2}} &= 3710 = 0,2 \times (2/6 \times 1,000 + \\ &\quad 2/3 \times (\text{BAER})) \times 10^3 \\ f(\text{BAER}) &\approx 1,039 \end{aligned}$$

De forma similar se ha calculado $f(\text{LTON}) \approx 0,994$ y $f(\text{SAIVS}) \approx 1,100$.

Ahora, sabiendo que $g(\text{Fe(III)}) = 14,0$, es posible determinar los valores de $10 Dq$ para los complejos que nos interesan y que aparecen en la Tabla 4.3.

El problema que se debe enfrentar ahora es el de asignar las bandas de transferencia de carga en los complejos en estudio. Este problema ha quedado resuelto en el caso de complejos de Fe(III) con acetilacetonas sustituidas.

Efectivamente, sobre la base de trabajos teóricos más o menos sofisticados Lindqvist y Kerlitzky^{21/} han asignado y discutido las bandas de transferencia de carga para estos compuestos, como fue expuesto en el capítulo 2.

Tanto la posición como la intensidad de las bandas en los espectros de Fe(III) con ácidos hidroxídicos son similares a las de los complejos de Fe(III) con acetilacetona. Además las características electrónicas de los complejos tienen alguna similitud entre sí.

Todo esto permite suponer que puede considerarse correcta una asignación similar de estas bandas.

Sin embargo se debe recordar que mantener la misma asignación puede tener validez solo para los complejos de Fe(III) con tres moléculas de ácido hidroxídico, los que se suponen con geometría octaédrica sin distorsión.

Para el resto de los complejos se ha supuesto una estructura octaédrica distorsionada, y por lo tanto el diagrama de orbitales moleculares que se debe usar es el de la figura 2.3 y en el estudiar las distintas transiciones posibles. Si se asignan las fórmulas $\text{Fe}(\text{AlN})_3$ y $\text{Fe}(\text{AlVN})_3$ a los complejos obtenidos con razones metal:ligante de 1:3 y pH = 6 a 7, y 8 respectivamente, se pueden asignar las bandas indicadas en la Tabla 4.1 como aparecen en la Tabla 4.4.

Observando el esquema de orbitales moleculares de la figura 2.2 es evidente que :

$$\nu_1 = \nu_2 + \nu_3 - 10 \text{ Dq}$$

De aquí se puede calcular ν_2 , ya que el resto de las variables son conocidas. El valor de ν_2 aparece entre paréntesis en la Tabla 4.4.

La forma de los espectros (figura 4.4) permite suponer que estas frecuencias están bien calculadas, ya que se insinúan 'bandas' en las zonas correspondientes.

En el caso de los complejos con simetría octaédrica con distorsión tetragonal podemos hacer las siguientes asignaciones (figura 2.3)

$$\nu_1 = e + \epsilon^{\pm}$$

$$\nu_2 = d_{xx} + \epsilon^{\pm}$$

$$\nu_3 = e - d_{xy}$$

Es posible comprobar que :

$$\nu_1 = \nu_2 + \nu_3 - (10 \text{ Dq} - 1/2 \epsilon_1 - 2/3 \epsilon_2)$$

Es decir, se podrían determinar los valores de δ_1 y de δ_2 a partir de v_1 , v_2 , v_3 y 10 Dq, si se conociera alguna relación entre ellos. En el efecto de Jahn y Teller, en que se produce un desdoblamiento semejante, δ_1 , se considera mucho mayor que δ_2 . Sin embargo en este caso valores de δ_2 inferiores a un 60% de δ_1 producen valores de este último exageradamente grandes. Se ha considerado conveniente suponer que $\delta_2 = 0,60 \delta_1$.

Entonces :

$$\delta_1 = 60/62 (v_1 + 10 Dq) - (v_2 + v_3)$$

Los valores de δ_1 y de δ_2 darán una medida cuantitativa de la distorsión tetragonal en los complejos.

Se puede considerar que los espectros obtenidos a pH = 5 a 6 y con razón metal:ligante de 1:2 corresponden a $\text{Fe}(\text{ButOH})_2(\text{AIVH})_2^+$ y a $\text{Fe}(\text{EtOH})_2(\text{AIVH})_2^+$ según sea el caso. Entonces la asignación de las bandas de transferencia de carga y los valores calculados para δ_1 y δ_2 quedan como aparece en la Tabla 4.3.

Es interesante observar que los parámetros de distorsión, δ_1 y δ_2 , son menores en el caso del $\text{Fe}(\text{EtOH})_2(\text{AIVH})_2^+$ que en el $\text{Fe}(\text{ButOH})_2(\text{AIVH})_2^+$. Ya que los valores de f para los ligantes afectados son muy similares se puede atribuir esta diferencia principalmente a las características catárcticas de los ligantes. Efectivamente, mientras los ligantes butanol y ácido isovalerohidroxílico tienen volúmenes similares, el butanol tiene un volumen molecular mucho menor que el ácido isovalerohidroxílico. Esto hace que las moléculas de este último, ubicadas en el plano ecatorial dificulten el acercamiento del butanol a la posición axial, produciéndose de esta manera un complejo con mayor distorsión tetragonal.

Aunque es posible postular otras transiciones (por ejemplo)

$v_1 = z + \omega$, $v_2 = d_{xz} \cdot d_{yz} + \omega$, $v_3 = z + d_z^2$; o también,
 $v_1 = z + \omega$, $v_2 = d_{xy} \cdot d_{yz} + \omega$, $v_3 = z + d_x^2 - y^2$) se ha
comprobado que dan valores de v_1 y v_2 absurdos.

4.2. Espectros infrarrojos de los sólidos

En la Tabla 4.6 se indican las frecuencias en que aparecen los máximos de las bandas principales de algunos ácidos hidroxilicos y de sus complejos. La forma de algunas bandas se puede ver en la figura 4.5. Las asignaciones que se han considerado para estas bandas son las siguientes:

- v_1 = estiramiento N-H
- v_2 = Estiramiento O-H
- v_3 y v_4 = vibración tipo amida I
- v_5 = vibración tipo amida II
- v_6 = vibración tipo amida III

En el caso del complejo Cu(AIVR)₂, v_6 aparece obscurizada por una de las bandas del Hujol (no se pudo obtener espectro en KBr debido a que este complejo se descompone en él).

Las bandas sobre 3500 cm^{-1} que aparecen en los espectros de los complejos son asignables a v_2 O-H libre de los alcoholes que se usaron como solventes y que, según se postula, entran en la esfera de coordinación. En el caso de los complejos de Ni(II) y de Cu(II) no aparecen bandas en estas frecuencias, lo que se debe a que estos complejos se suponen planares y no tienen moléculas de solventes actuando como ligantes.

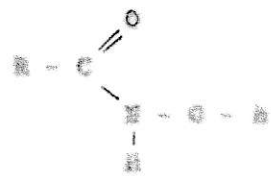
En el caso del complejo de FeCl₃ con AED, se supone que en posición axial se coordinan dos átomos de cloro y no de solvente, de esta manera se justifica la ausencia del estiramiento O-H sobre 3500 cm^{-1} .

La banda ν_2 , en general disminuye su frecuencia al formarse el complejo, debido fundamentalmente a la formación de puentes de hidrógeno intermoleculares entre las moléculas complejas. (figura 3.6 (c)).

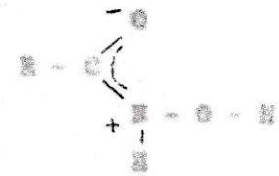
La vibración tipo amida I baja su frecuencia debido a que el complejamiento favorece la estructura (b) en que el enlace C-O es de orden inferior a dos.

La vibración tipo amida II baja su frecuencia debido al aumento de la probabilidad de enlace de hidrógeno (c), como consecuencia del aumento de la importancia de la estructura (b) antes postulada.

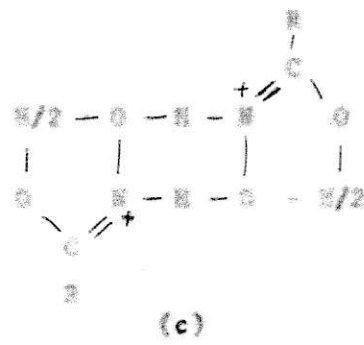
Al aumentar la importancia de (b) aumenta la frecuencia de la vibración tipo amida III, que es principalmente un estiramiento C-H.



(a)



(b)



(c)

Fig. 3.6

C A P I T U L O V

CONCLUSIONES

De los resultados de este trabajo se puede concluir que:

- 5.1. El efecto del pH la razón metal: ligante en los complejos con ácidos hidroxámicos grasos superiores y ácidos benzohidroxámicos es el mismo en el caso de complejos con ácidos hidroxámicos de cadena más corta.
- 5.2. Los valores de $\log K_{\text{d}}$ determinados para complejos de Fe(III) con ácidos estearhidroxámico e isoestearhidroxámico son pequeños. El valor del factor espectroscópico f para los ácidos hidroxámicos estudiados es muy cercano al correspondiente al agua (1,00).
- 5.3. La asignación de bandas de transferencia de carga hecha para complejos de Fe(III) con acetilacetona, mostró ser adecuada para los complejos de Fe(III) con ácidos hidroxámicos.
- 5.4. La distorsión tetragonal observada en los complejos del tipo $[\text{FeL}_2\text{S}_2]^+$ depende fundamentalmente del tamaño relativo de L y S.

BIBLIOGRAFIA

- 1) LÖSCHER, H., Annalen der Chemie, 150, 319, (1869).
- 2) BARK, T.C. y YOUNG, J.H., Talanta, 12, 739, (1964).
- 3) CHURCH, K.A. y HUNTER, J.W., Anal. Chem., 44 (2), 236, (1972).
- 4) KASLOV, A.B. y PODCHATNOVA, T.S., Obozren. Khim., 32 (2), 27 (1960); Chem. Abstr., 55, 51946 f (1960).
- 5) GORLOVSKII, S.I., KROSTOVA, E.P. y SHCHEDELA, N.D., Tsvetn. Metal., 39 (2), 712 (1966); Chem. Abstr., 65, 243 b (1966).
- 6) LÖSCHER, H., Annalen der Chemie, 252, 170 (1867) y 261, 181 (1874).
- 7) ECKER, O. y KAKÁČ, B., Collcc. Czechoslov. Obor. Chem., 26, 1936 (1953).
- 8) DABAI, D. y PÉTEROVSKÝ, B., Spectrochimical Acta, 16, 39-51 (1957).
- 9) ECKER, O., České Vláknaře, Farm., 42 (6), 145-150 (1958).
- 10) BROOK, C., Analyst, 75, 27 (1950).
- 11) KUROBO, O.S., SAKAI, T. y KIYOTANI, T., Yakugaku Zasshi, 84 (5), 423-426 (1961).
- 12) CHRISTIAN, LAPPIN y DAHLER, Anal. Chem. 26, 1866. (1954).
- 13) KILPATRICK, E. y HAGATA, K., Coordination, Chem. Rev., 3, 247-276 (1955).
- 14) PETERSON, R.D., TORREYMAN, K.C., RICHARD, R.E. y STILES, J.B., Transactions Soc. Mining Eng., 300 (1961).
- 15) TABATA, T. y SHIBANO, S., J. Phys. Soc. Japan, 9 (5), 753 (1954).
- 16) REIST, L.J., KOSTER, G.T. y JURKOW, A.M., J. Amer. Chem. Soc., 55 (24), 6471 (1933).
- 17) KOIDE, S. y PAYNE, H.R.L., Pall. Eng., 3, 637 (1955).
- 18) PAPPALARDO, R.L., Chem. Phys., 31 (2), 1650 (1959)

- 24) SPERL, J.W., J. Chem. Phys., 31, 765 (1959).
- 25) BALI, R., Recueil des Travaux Chimiques des Pays-Bas., 86 (10), 1023 (1967).
- 26) LIEFTJET Y KERNINKUY, Inorg. Chem. 7, 491 (1970).
- 27) LEVINE, A.B.P., "Inorganic Electronic Spectroscopy" Elsevier Publishing Company, Nueva York, 1968.
- 28) JOHNSON, C.K., "Absorption Spectra and Chemical Bonding in Complexes", Pergamon Press, (1972).
- 29) TIGDIL, B.B., "Introduction to Light Fields". Interscience Publishers, (1960).
- 30) WOLK, R.H. y COTTON, F.A., J. Amer. Chem. Soc., 39, 5650 (1917).
- 31) OMES, L.B., J. Chem. Phys., 23, 1608 y 1624 (1955).

T A B L A 4.1

ESPECTROS ELECTRONICOS DE COMPLEJOS DE NIOBIO (III)

(a) con Seido estearoalquilendílico

Razón metal/ligante	pH		Precuencia en kilohertz (1)	
0:1	1	20,9(1970)	31,6(15.000)	
0:1	5-6	21,2(522)	41,2(3.750)	
0:1	10	22,8(646)	37,0(1.010)	43,2(1.460)
2:1	1	20,0-22,0(500)	29,4(1.000)	41,3(3.600)
2:1	5-6	21,0(522)		42,4(3.840)
2:1	10	22,8(646)	37,5(1.710)	44,1(2.020)
1:1	1	18,0(522)	29,3(700)	42,9(2.715)
1:1	5-6	20,0(1.082)	32,0(4.370)	43,3(8.080)
1:2	10	22,8(1.130)	30,0(1.170)	41,3(2.600)
1:2	1	17,8(1.655)	35,3(800)	44,3(2.920)
1:2	5-6	20,4(1.336)	33,3(642)	44,3(2.100)
1:2	10	20,8(516)	34,0(1.000)	44,3(2.130)
1:3	6-7	20,4		45,0

(b) con Seido isoovaleroolquilendílico

1:2	5-6	23,2(1.446)	31,75(4.800)	42,5(8.980)
1:3	8	24,7(5.200)		47,7(17.300)

(1) Entre paréntesis aparecen los coeficientes de absorción en
 $(\text{lt cm}^{-1}\text{mol}^{-1})$

TABLA 4.2

ESPECTROS ELECTRONICOS, ASIGNACIONES DE BANDAS Y VALOR DE

10 D_q PARA COMPLEJOS DE NI(II) EN SOLUCION

	$v(kk)$	(a) ϵ_{min}	(b)	(c)	10 D _q (d)
NI(H ₂ O) ₆ ²⁺					
v ₁	6,5	4,6	1,0 x 10 ⁻⁵		0,200 kk
v ₂	13,0	2,0	2,0 x 10 ⁻⁵		
v ₃	23,0	0,6	7,0 x 10 ⁻⁶		
v ₄	26,2	1,0			
NI(EtOH) ₆ ²⁺					
v ₁	8,4	3,0	2,0 x 10 ⁻⁵		0,440 kk
v ₂	13,7	2,5	2,0 x 10 ⁻⁵		
v ₃	23,6	0,0	2,0 x 10 ⁻⁵		
v ₄	25,2	0,0	2,2 x 10 ⁻⁵		
NI(But) ₆ ²⁺					
v ₁	8,4	6,1			0,270 kk
v ₂	13,0	5,0	1,1 x 10 ⁻⁵		
v ₃	23,0	12,0	2,0 x 10 ⁻⁵		
v ₄	26,0	2,0	2,2 x 10 ⁻⁵		
NI(AIVN) ₆ ²⁺ (EtOH) ₂					
v ₁	8,2	3,2	2,7 x 10 ⁻⁵		0,740 kk
v ₂	13,6	3,2	2,2 x 10 ⁻⁵		
v ₃	27,0	2,0	2,0 x 10 ⁻⁵		
v ₄	23,2	1,1	2,7 x 10 ⁻⁵		
NI(ACN) ₆ ²⁺ (ButOH) ₂					
v ₁	(a)				
v ₂	13,0	2,0	2,2 x 10 ⁻⁵		0,710 kk
v ₃	23,0	0,0	1,2 x 10 ⁻⁵		
v ₄	26,0	2,2	2,0 x 10 ⁻⁵		

NOTAS (en la página siguiente)

T A B L A 8.3

VALORES DE $10 D_q$ PARA COMPLEJOS DE Fe(III)

COMPLEJO	$10 D_q$ (dk)
$Fe(ButOH)_2(AEH)_2^+$	14,30
$Fe(AEH)_3$	15,30
$Fe(EtOH)_2(AlVH)_2^+$	14,30
$Fe(AlVH)_3$	14,40

T A B L A 4.8

TRANSICIONES DE TRANSFERENCIA DE CARGA

Alineación	$\text{Fe}(\text{LBN})_2$	$\text{Fe}(\text{AlVB})$
$\gamma_1(\pi \rightarrow \pi^0)$	45,30 kk	47,70 kk
$\gamma_2(t_{2g} \rightarrow \pi^0)$	(35,90) "	(38,70) "
$\gamma_3(\pi \rightarrow \sigma_g)$	24,60 "	24,70 "
$\gamma_4(\sigma_g)$	19,30 "	14,80 "

T A B L A 4.5

TRANSICIONES DE TRANSFERENCIA DE CARGA

Asignación	$P_e(\text{Burton})_2(AEH)_2^*$	$P_e(\text{Etox})_2(AEW)_2^*$
v_1	44,500 kk	62,600 kk
v_2	33,300	31,300
v_3	20,400	23,200
$\delta \cdot P_1$	16,900	14,900
δ_1	5,417	3,570
δ_2	4,292	2,856

T A B L A 4.3

**ESPECTROS INFRARROJOS DE LOS COMPLEJOS
(frecuencias en cm^{-1})**

	ν_1	ν_2	ν_3	ν_4	ν_5	ν_6
AlVH	3.645	3.345	1.657	1.610	1.550	1.412
Fe(AlVH) ₂ (ButOH) ₂	3.320	3.370	1.637	1.570	1.512	1.426
Cu(AlVH) ₂	3.590	-	1.637	1.550	1.500	-
APH	3.350	3.230	1.650	1.610	1.540	1.423
Fe(APH) ₂ (ButOH) ₂	3.230	3.590	1.632	1.550	1.512	1.432
AEE	3.265	3.065	1.663	1.610	1.570	1.426
Fe(AEE) ₂ Cl ₂	3.1275	-	1.620	1.580	1.515	1.430
Cu(AEE) ₂	3.295	-	1.660	-	1.420	-
M(AEE) ₂	3.260	-	1.610	1.565	-	1.425
	3.410					

NOTAS :



(b) extinciones polares en unidades de $\left[\text{dm}^{-4} \text{mol}^{-1} \right]$

(c) factor de frecuencia $\approx f = 4,32 \times 10^{-3} / \epsilon \text{ dy}$

$$f = 4,32 \times \epsilon_{\text{max}} \approx \Delta v$$

en que Δv es el ancho medio de la banda

(d) los valores de $10 D_q$ fueron calculados usando v_2 y v_3 según

$$D_q = \left[72 a + (5440 b^2 - 250 c^2) \right] / 2720$$

con

$$a = v_2 + v_3 \quad ; \quad b = v_3 - v_2$$

En el caso de los complejos de $\left[\text{Ni(AEN)}_2(\text{Et}_2\text{O})_2 \right]^+$ y $\left[\text{Ni(AVA)}_2(\text{Et}_2\text{O})_2 \right]^+$ se corrigió el valor de v_2 usando en estas ecuaciones el promedio entre v_2 y v_4 , debido a que las intensidades medidas por los factores de frecuencia son del mismo orden.

(e) banda muy ancha.

BOTAS A LA FIGURA 4.4

(a) corresponde a $\text{Fe}(\text{ClO}_4)_3 + 2 \text{ AlN}$

- 1.- a pH 5 a 6
- 2.- a pH 1
- 3.- a pH 10

(b) corresponde a $\text{Fe}(\text{ClO}_4)_3 + \text{AlN}$

- 1.- a pH 3.6
- 2.- a pH 1
- 3.- a pH 10

(c) corresponde a $\text{Fe}(\text{AlVN})_3$ a pH = 4

(d) corresponde a $\text{Fe}(\text{EtOH})_2(\text{AlVN})_2^+$ a pH = 5 a 6

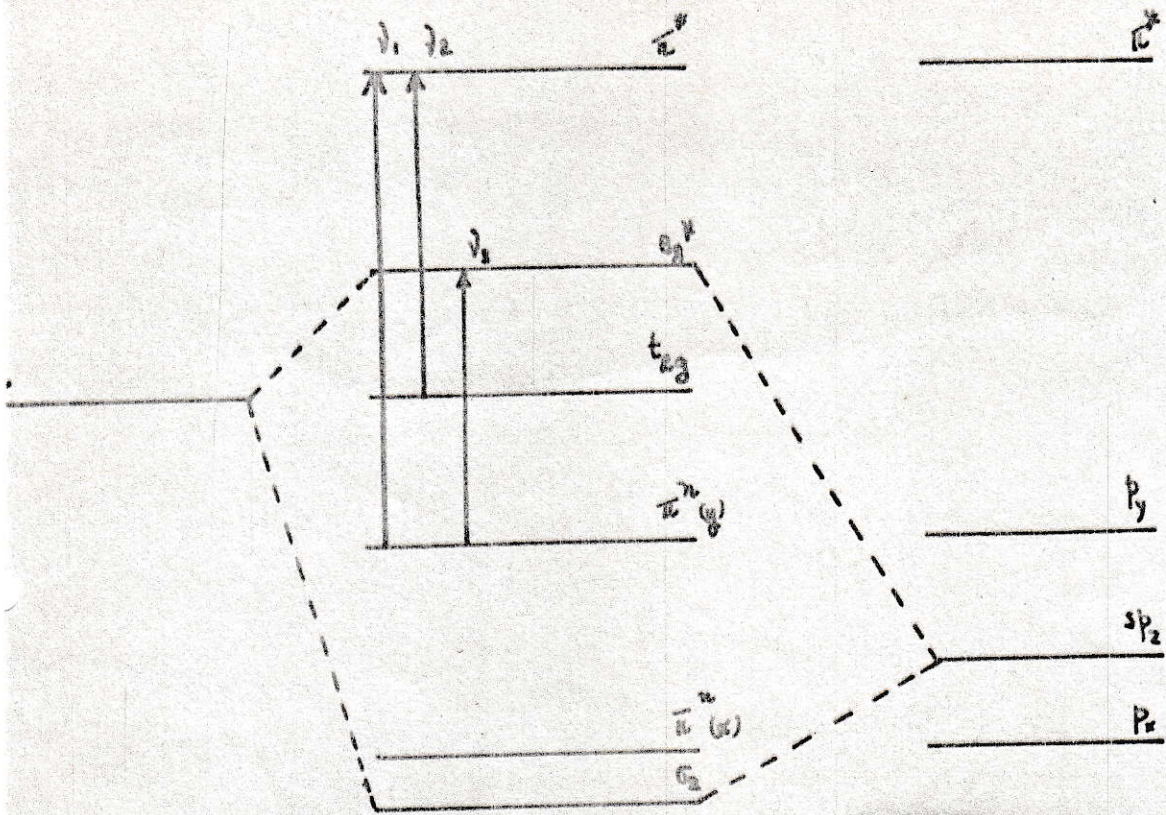


Fig 2.2

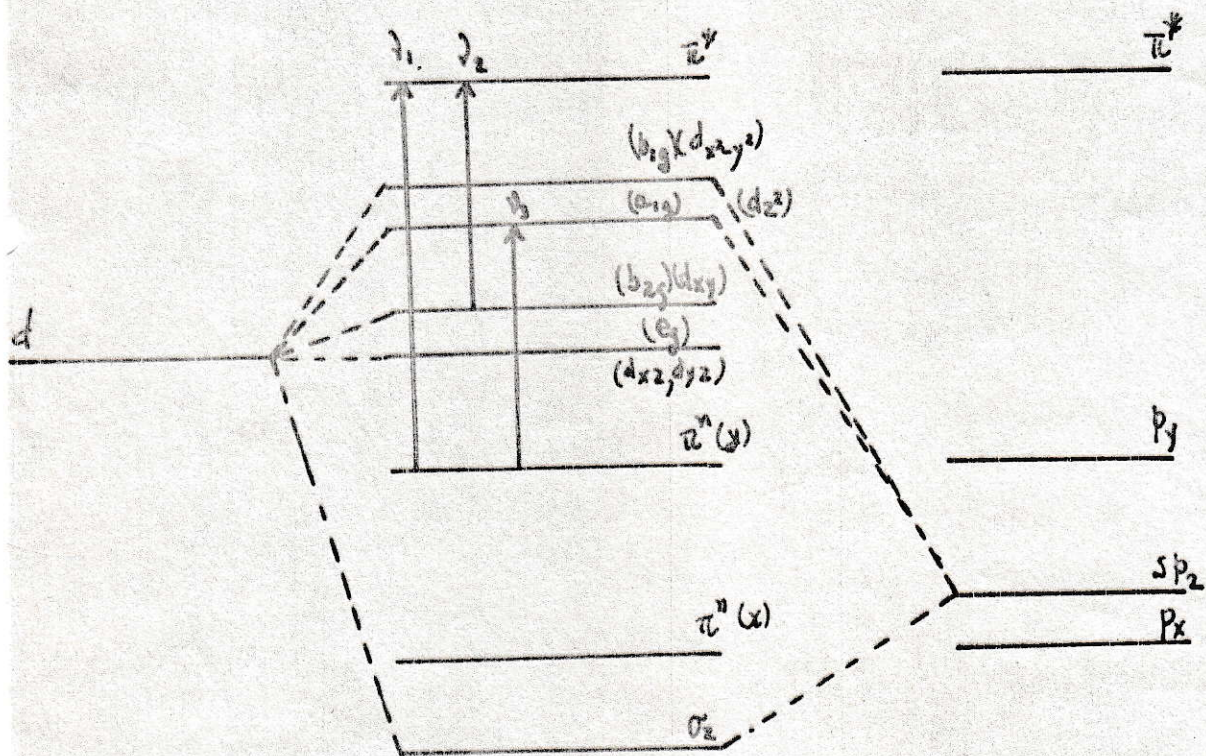
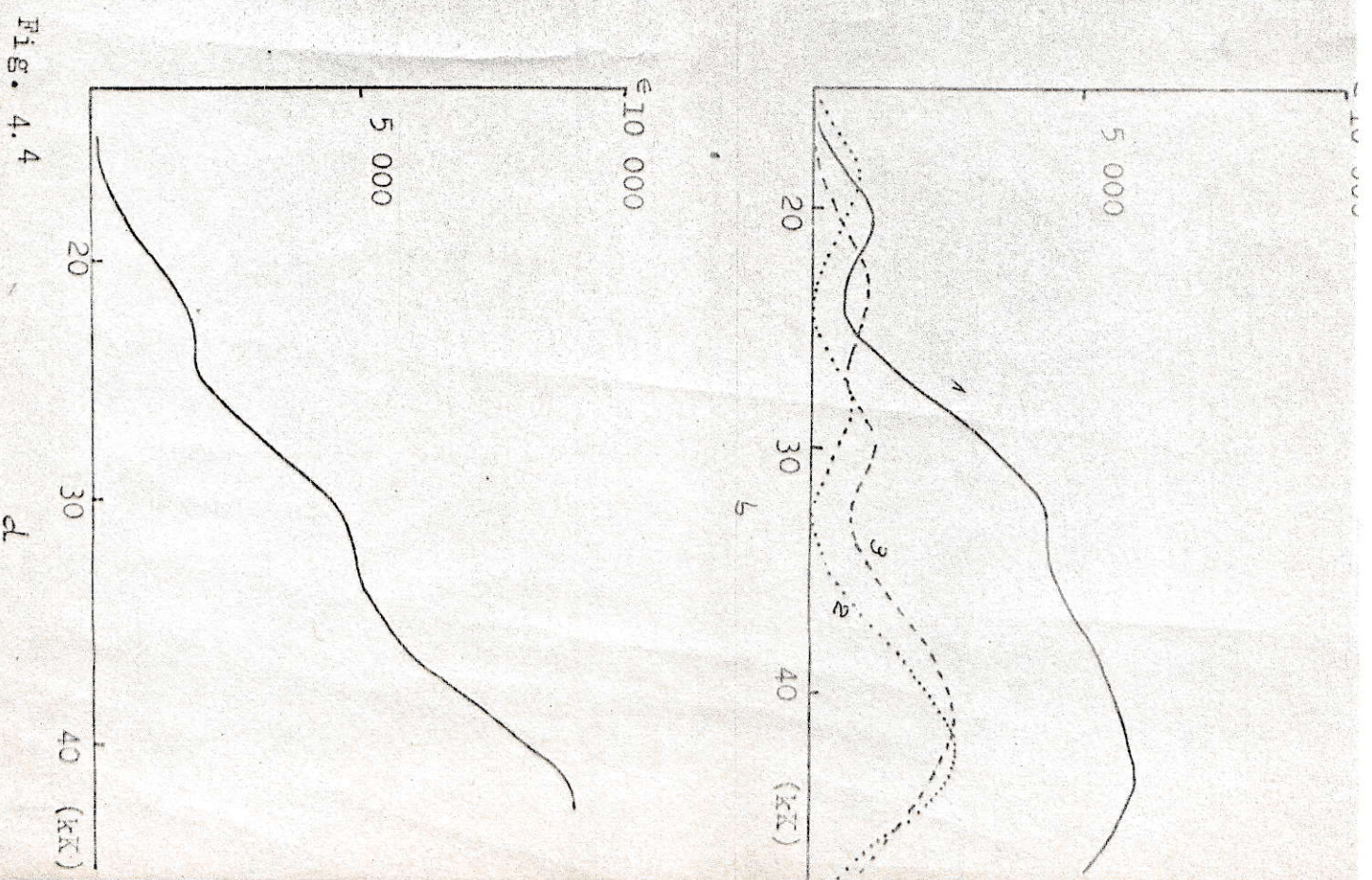
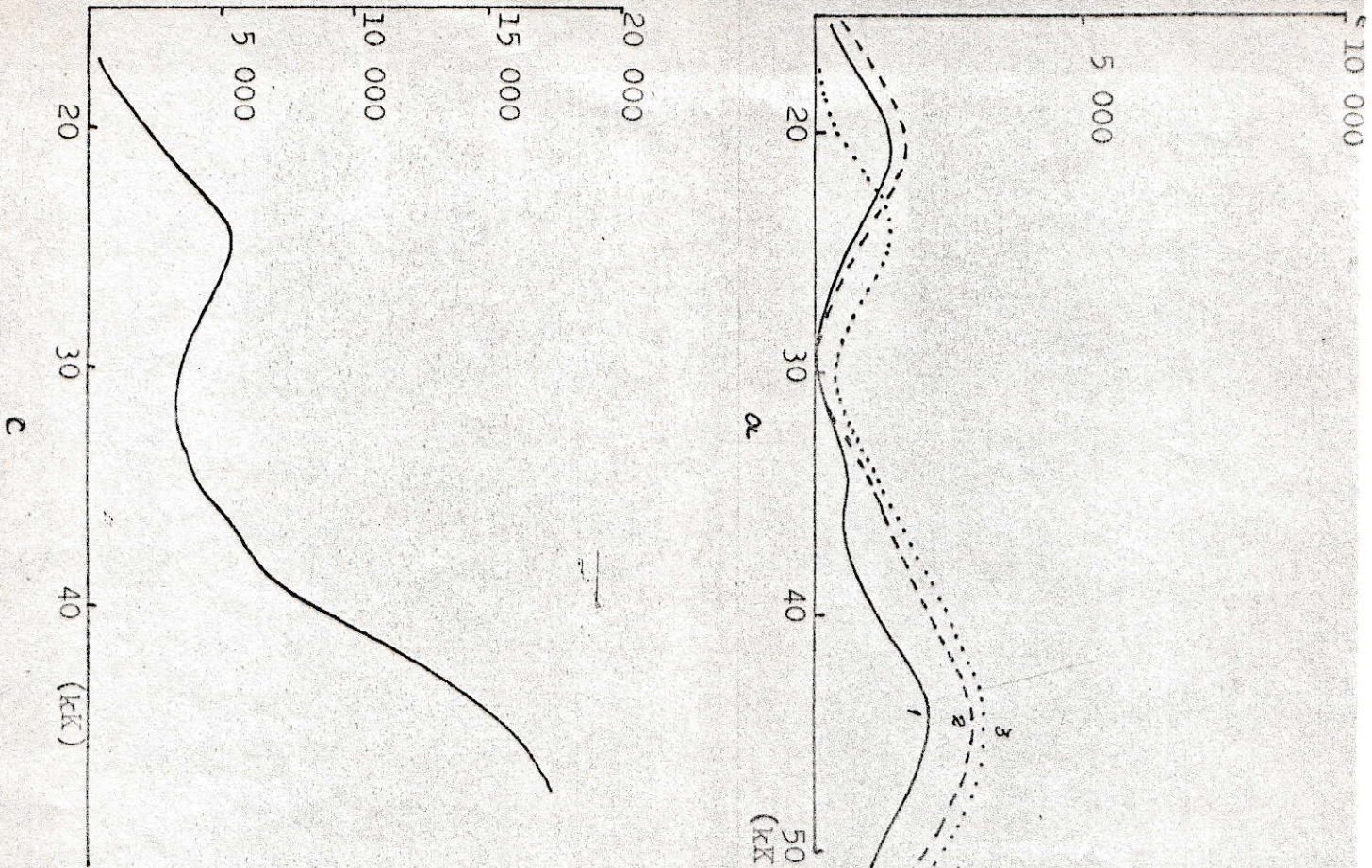


Fig 2.3



c

Fig. 4.4

d

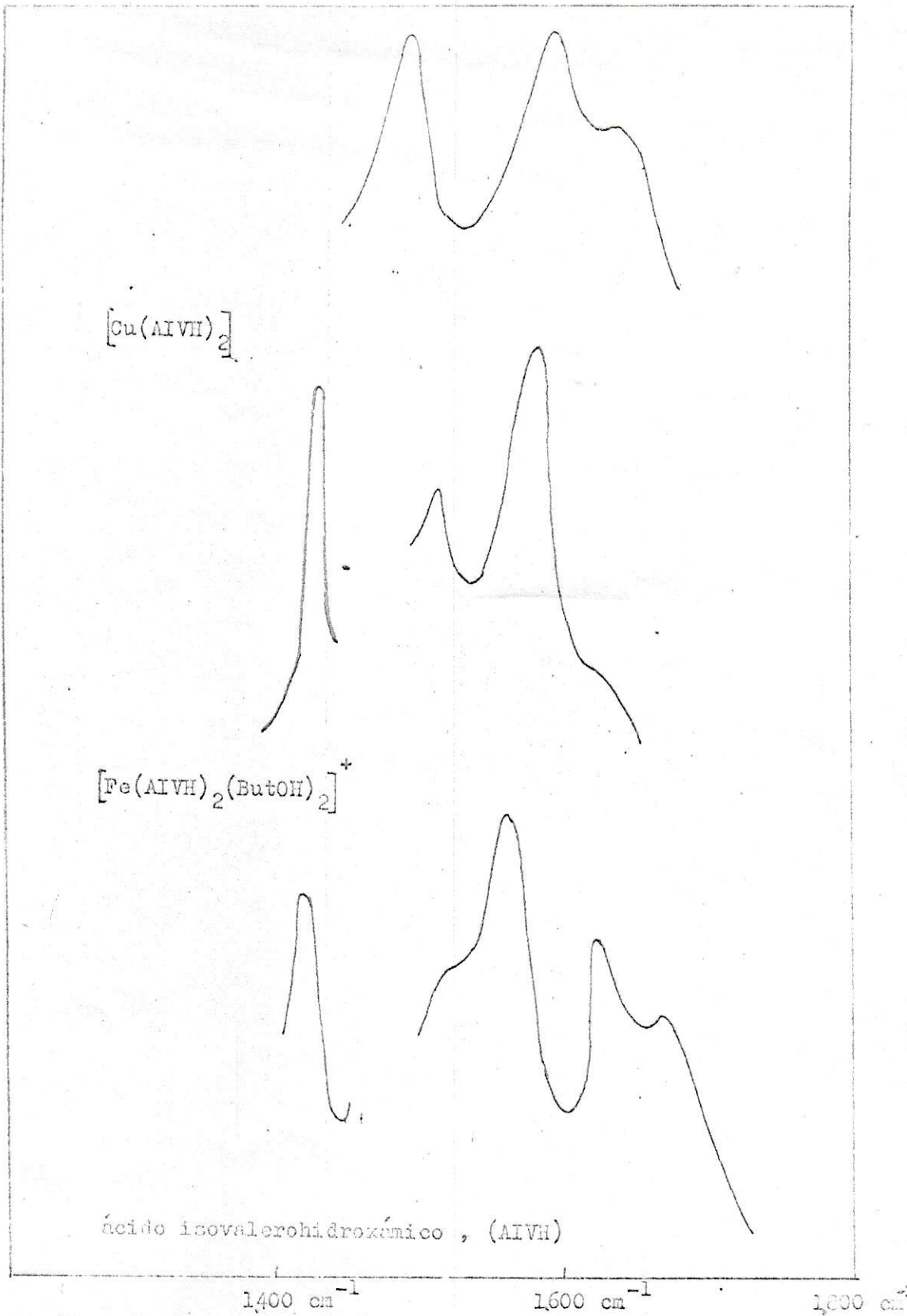


Fig. 4.5.